

Оценка петрофизических свойств деформированных пластов песчаника и их влияния на поток флюидов (на примере обнажений Абшеронского п-ова)

Г.А. Зейналов, д.ф.н., м.и.д.

Ш.Б. Алхаслы²

Университет Хазар,

²eiLink Research and Development Center

e-mail: shahriyar.alkhasli@kazahar.org

Deformasiya uğramış qumdaşı yolların petrofiziki xüsusiyyətlərinin onların fluid axınına təsirinin qiymətləndirilməsi
(Abşeron yarımadasının yerüstü çıxışlarının timsalında)

Q.Ə. Zeynalov, g.-m.ü.ñ.d.,

Ş.B. Alxaslı²

Kəzər Universiteti,

²eiLink Research and Development Center

Açar sözlər: deformasiya uğramış yolların petrofiziki xüsusiyyətləri, Abşeron yarımadasının yerüstü çıxışlarında çöl olçmaları, deformasiya zolaqları üzrə laboratoriya ölçmələri, Yasamal dərası.

İşin məqsədi deformasiya uğramış Balaxanı qumdaşı yollarının keçiriciliyi təsirinin ölçülməsi. İşin metodikası çöl işləri zamanı portativ alətlə ölçülülmüş keçiricilik məlumatının laboratoriyyadən – məsələmə, keçiriciliyi və mineraloqik tərkib eksperimentlərinə integrasiyasından ibarətdir. Natiqərlər mineraloqik tərkibin dayışması nadicəsindən məsələmələr və keçiriciliyin dayışmasının müvafiqəsi asasında “deformasiya zolaqları qumdaşı səxşərinin petrofiziki xüsusiyyətlərinin keskin azalmasının müşahidə olunduğu” göstərir.

Estimation of petrophysical properties of deformed sandstone layers and their impact on fluid flows
(In the context of Abşeron peninsula outcrops)

G.A. Zeynalov, Ph. Dr. in Geol.-Min. Sc.,

Ş.B. Alxaslı²

²Kəzər University,

²eiLink Research and Development Center

Keywords: petrophysical properties of deformed layers, field measurements in Abşeron peninsula outcrops, laboratory measurements with deformed bands, Yasamal valley.

The paper deals with the impact estimation of deformed bands and mineralogical composition of deformed layers on the porosity and permeability of Balaxanı suite sandstones. The paper methodology is based on the integration of field permeability data obtained via the portable tool and laboratory tests for specification of porosity, permeability and mineralogical composition as well. The results justify significant decrease of petrophysical properties in the presence of deformed bands compared with the changes in porosity and permeability in the variability of mineralogical composition.

Ключевые слова: петрофизические свойства деформированных пластов, полевые замеры на обнажениях Абшеронского п-ова, лабораторные измерения с деформационными полосами, Ясамальская долина.

Введение

Оценка пористости и проницаемости деформированных песчаников представляет собой интерес из-за наличия большого количества пластов с трещинами и/или с деформационными полосами, оказывающими существенное влияние на поток флюидов в пласте. Первая интерпретация деформационных полос, датируемая 1968 г., ассоциировала их как тонкие миллиметровые сдвиги породы [1]. Дальнейшее изучение выявило, что деформационные полосы – предшественники больших сдвиговых нарушений, а не сдвигов как таковых [2]. Механизмы образования, кинематика, классификация и влияние деформационных полос на петрофизические свойства песчаников широко описаны в литературе [3].

Влияние деформационных полос на петрофизические свойства пластов песчаника является функцией многих параметров, включая начальную пористость и проницаемость, а также минералогический состав песчаника. В результате обширного анализа факторов, влияющих на изменения свойств песчаников на основе данных, собранных с обнажениями пород со всего мира было выявлено, что понижение проницаемости в самих деформационных полосах варьируется от нуля до шести порядков, по сравнению с материнской породой (так же порода без деформационной породы) [4]. Авторы работы [5] оценили понижение эффективности потока на основе дифференциальной формы уравнения Дарси при установленном состоянии

флюидного потока и пришли к выводу, что разница в проницаемости между материнской породой и деформационной полосой должна превышать четыре порядка для существенного влияния на поток жидкости в пористой среде.

Целью данной работы является выявление влияния деформационных полос (на примере песчаников балаханской свиты Ясамальской антиклинали) и сопоставление с влиянием процента кальцитов и глин в песчаниках как в резервуарных, так и керновых масштабах.

Методика

Полевые работы были сконцентрированы на восточном крыле Ясамальской антиклинали из-за наличия большого количества деформационных полос на опрокинутых пластах песчаника и на пластах с большим углом падения. Замеры были проведены на песчаниках балаханской свиты, с использованием Gamma Ray MGS-150 для радиоактивности пород и Tiny Perm II для проницаемости. Замеры радиоактивности и проницаемости проводились в одинаковых местах для дальнейшего интегрированного анализа. Вычисление объема глинистости песчаников произведено по эмпирическому уравнению Steiber, 1970 с использованием гамма-каротажа [6]. Замеры также проводились на отдельных пластах песчаников (по простирации пластика) с изучением деформационных полос и вышеупомянутыми замерами.

Наличие только полевых замеров является недостаточным для определения деградации петрофизических свойств пород. Были назначены два вида лабораторных экспериментов с целью определения пористости и проницаемости, а также минералогического состава: рутинный анализ керна и рентгенодифракционный анализ. Были изъяты образцы песчаников балаханской свиты Ясамальской долины, с присутствием и без наличия деформационных полос для количественного сравнения петрофизических свойств. Парные образцы были изъяты в непосредственной близости, во избежание большой разницы минералогического состава и геометрических параметров пласта (углы падения и простирации). Проницаемость внутри деформационной полосы была выведена по методу

гармонического усреднения последовательных пластов, где одним из пластов является сама деформационная полоса. Такой подход был применен в силу того, что деформационная полоса имеет ширину от 1 до 15 мм, и проведение рутинного кернового анализа на миллиметровом образце представляется невозможным.

Результаты и их обсуждение

Влияние деформационных полос на петрофизические свойства в пластовых масштабах было изучено в отдельности от кернового. Полевые замеры позволяют сопоставить влияние деформационных полос и объема глин пластов песчаника на их проницаемость. Как видно из рис. 1, экспоненциальный спад проницаемости по эффекту деформационных полос второе больше по сравнению с эффектом объема глин. Согласно графику на рис. 1, а можно предположить, что влияние деградации проницаемости проходит не только локально (т.е. только внутри деформационной полосы), но также и в определенной близости к полосам. В литературе приведены наблюдения обратных закономерностей на основе анализа зависимости количества деформационных полос и проницаемости для крупнозернистых песчаников с проницаемостью 0.08 мкм^2 [7]. Следует отметить, что песчаники балаханской свиты являются мелкозернистыми, вследствие чего возможны различия в вышеупомянутых наблюдениях.

Два индивидуальных пласта песчаника (из VI и VIII горизонтов балаханской свиты) были детально изучены, с подсчетом деформационных полос на различных позициях (рис. 2). Замеры проницаемости были проведены на тех же позициях. Падение проницаемости пласта VI горизонта балаханской свиты соответствует повышению количества деформационных полос на позициях 20–30 и 30–45 (с некоторыми отклонениями). Тенденция также наблюдается в изученном пласте VIII горизонта балаханской свиты на позициях 10–28. Обратная зависимость наблюдалась на позициях 1–10 и 28–35, причиной чего могут являться литологические и петрофизические изменения пласта.

Изменение пористости и проницаемо-

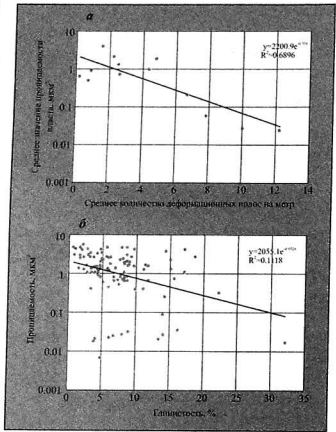


Рис. 1. Зависимость проницаемости от количества деформационных полос (а) и объема глин (б) в песчаниках в резервуарных масштабах

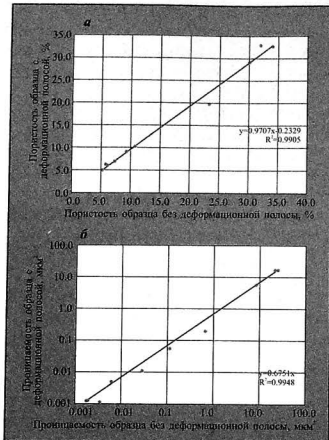


Рис. 3. Сравнение пористости (а) и проницаемости (б) парных кернов (с наличием и без деформационной полосы) с Ясамальской долиной

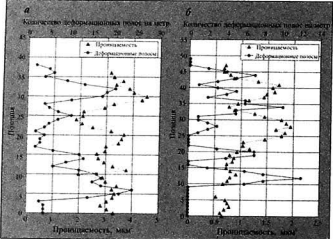


Рис. 2. Сопоставление абсолютного количества деформационных полос и замеренных проницаемостей на песчаниках VI (а) и VIII (б) горизонтов балханская свиты

сти в керновом масштабе представлено на рис. 3. Из графиков следует, что снижение пористости в образце с деформационной полосой упало на 3 % по сравнению с образцом без нее. Понижение проницаемости равно 33 %.

Данными рентгенодифракционного анализа было изучено влияние процентности

кальцитных и глинистых минералов на пористость и проницаемость песчаников балханской свиты Ясамальской долины. Как видно из рис. 4, увеличение процентности минералов кальцита и глин приводит к резкому падению как пористости, так и проницаемости. Относительное сравнение выявляет, что минералы глин имеют больший показатель влияния, чем минералы кальцитов 15 %-ная концентрация этих минералов приводит к различным проницаемостям – 0,207 и 0,044 мкм² (эти значения обозначены пунктирными линиями) (рис. 4, б, в). Возможным пояснением этого наблюдения служит то, что кальцитовые конкреции подлежат растворению и образованию вторичной пористости с последующим эффектом на проницаемость. Понижение проницаемости из-за кальцита и глинистости характеризовано экспоненциальной функцией, и скорость спада немного выше по сравнению с эффектом, созданным средним количеством деформационных полос (рис. 1, а).

Вслед за подсчетом проницаемости внутри деформационной полосы по методу

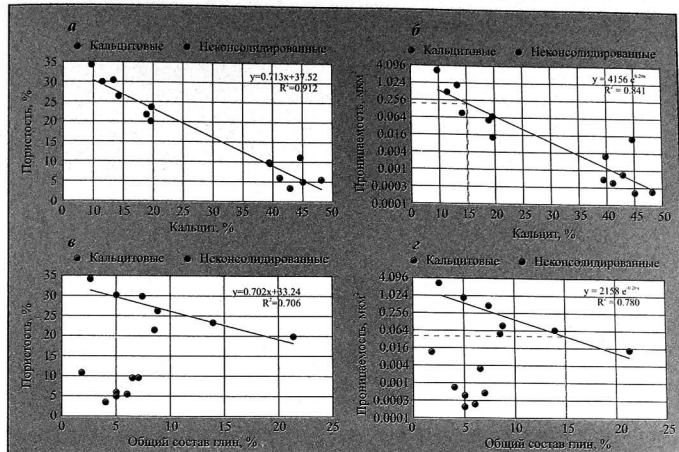


Рис. 4. Влияние кальцитности (а, б) и глинистости (в, г) на пористость и проницаемость песчаников без деформационной полосы

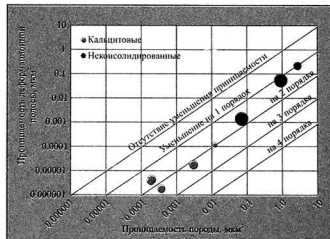


Рис. 5. Сопоставление проницаемости внутри деформационной полосы и материнской породы

гармонического усреднения был подсчитан коэффициент ухудшения, как отношение проницаемостей материнской породы к деформационной полосе. Коэффициент ухудшения был сопоставлен с проницаемостью материнской породы (рис. 5). Большинство

данных показывают, что чем больше проницаемость материнской породы, тем меньше коэффициент ухудшения.

Заключение

На основе лабораторных экспериментов было выявлено, что в деформационных полосах значение проницаемости уменьшается в 200 раз в керновом масштабе, в то время как значительного понижения пористости не наблюдается. Результаты полевых замеров показали, что ухудшение проницаемости происходит не только в самой деформационной полосе, но и в ближайшей окрестности, которое может негативно влиять на поток флюидов в пласте. Относительное сравнение влияния нескольких параметров (т.е. процент кальцита и глин песчаников, а также влияние деформационных пород) выявило экспоненциальные спады проницаемости, с наибольшим коэффициентом спада у эффекта глинистости.

Список литературы

1. Aydin, A. Small faults formed as deformation bands in sandstone // Pure and Applied Geophysics, 1978, v. 116, pp. 913-930.
2. Fossen, H., Bale, A. Deformation bands and their influence on fluid flow // American Association of Petroleum Geologists Bulletin, 2007, v. 91, pp. 1685-1700.
3. Fossen, H., Soliva, R., Ballas, G., Trzaskos, B., Cavalcante, C., Schultz, R.A. A review of deformation bands in reservoir sandstones: geometries, mechanisms and distribution // Geological Society, London, Special Publications, 459, 2017.
4. Ballas, G., Fossen, H., Soliva, R. Factors controlling permeability of cataclastic deformation bands and faults in porous sandstone reservoirs // Journal of Structural Geology, 2015, v. 76, pp. 1-21.
5. Fossen, H., Bale, A. Deformation bands and their influence on fluid flow // AAPG Bulletin, 2007, v. 91, No 12, pp. 1685-1700.
6. Asquith, G., Krygowski, D. Basic Well Log Analysis: AAPG Methods in Exploration, 2004, No. 16, pp. 31-35.
7. Fossen, H., Schultz, R.A., Torabi, A. Conditions and implications for compaction band formation in the Navajo Sandstone, Utah. Journal of Structural Geology, 2011, No 33, pp. 1477-1490.

References

1. Aydin, A. Small faults formed as deformation bands in sandstone // Pure and Applied Geophysics, 1978, v. 116, pp. 913-930.
2. Fossen, H., Bale, A. Deformation bands and their influence on fluid flow // American Association of Petroleum Geologists Bulletin, 2007, v. 91, pp. 1685-1700.
3. Fossen, H., Soliva, R., Ballas, G., Trzaskos, B., Cavalcante, C., Schultz, R.A. A review of deformation bands in reservoir sandstones: geometries, mechanisms and distribution // Geological Society, London, Special Publications, 459, 2017.
4. Ballas, G., Fossen, H., Soliva, R. Factors controlling permeability of cataclastic deformation bands and faults in porous sandstone reservoirs // Journal of Structural Geology, 2015, v. 76, pp. 1-21.
5. Fossen, H., Bale, A. Deformation bands and their influence on fluid flow // AAPG Bulletin, 2007, v. 91, No 12, pp. 1685-1700.
6. Asquith, G., Krygowski, D. Basic Well Log Analysis: AAPG Methods in Exploration, 2004, No. 16, pp. 31-35.
7. Fossen, H., Schultz, R.A., Torabi, A. Conditions and implications for compaction band formation in the Navajo Sandstone, Utah. Journal of Structural Geology, 2011, No 33, pp. 1477-1490.